



مطالعهٔ ابتدا به ساکن ویژگی‌های فونونی و گرمایی ترکیب GaP در دو فاز بلندروی و هگزاگونال

حمدا... صالحی*، شیوا مخاوات، پیمان امیری

گروه فیزیک، دانشکده علوم، دانشگاه شهید چمران اهواز، اهواز، ایران

تاریخ ثبت اولیه: ۱۴۰۱/۰۳/۱۵، تاریخ دریافت نسخه اصلاح شده: ۱۴۰۱/۰۵/۱۶، تاریخ پذیرش قطعی: ۱۴۰۱/۰۶/۰۲

چکیده

در این کار ویژگی‌های فونونی، گرمایی و فشار گذار ترکیب گالیم فسفید در دو فاز پایدار بلندروی و فاز سینابار مورد بررسی قرار می‌گیرد. محاسبات با استفاده از روش شبه پتانسیل در چارچوب نظریهٔ تابعی چگالی و با استفاده از بستهٔ محاسباتی کوانتوم اسپرسو صورت گرفته است. شبه پتانسیل‌های مورد استفاده از نوع بارپایسته بوده و برای محاسبهٔ پتانسیل تبدیلی-همبستگی از تقریب شیب تعمیم یافته استفاده شده است. نمودار انرژی برحسب حجم در فشار گذار نشان می‌دهد که فاز سینابار یک فاز شبه پایدار است. نمودار پاشندگی فونونی نشان می‌دهد که این ترکیب در فاز بلندروی دارای گافی بین 242 cm^{-1} تا 311 cm^{-1} و در فاز سینابار فاقد گاف می‌باشد. از مطالعهٔ خواص ترمودینامیکی دو فاز بلندروی و سینابار درمی‌یابیم که در هر دو فاز افت ظرفیت گرمایی در دماهای پایین، به صورت T^3 است. در دماهای بالا نیز ظرفیت گرمایی به $3NK_B$ (قانون دولن - پتی) نزدیک می‌شود.

واژه‌های کلیدی: گالیم فسفید، نظریهٔ تابعی چگالی، خواص فونونی، خواص گرمایی.

۱. مقدمه

گالیم فسفید یک نیم‌رسانا از گروه III-V می‌باشد [۱]. در طی چند سال اخیر فسفیدها (BP, AIP, GaP, InP) به دلیل خواص فیزیکی بی‌نظیرمانند رسانش گرمایی بالا، چگالی پایین و گاف نواری پهن توجه زیادی را به خود جلب کرده‌اند [۲]. به دلیل کاربرد در دستگاه‌های نورپردازی، این ترکیب یکی از مهمترین نیم‌رساناهای گروه III-V است [۳]. گالیم فسفید ماده‌ای مناسب برای

*عهده دار مکاتبات: حمدا... صالحی

نشانی: گروه فیزیک، دانشکده علوم، دانشگاه شهید چمران اهواز، اهواز، ایران

پست الکترونیک: E-mail: salehi_h@scu.ac.ir

تلفن: ۰۹۱۶۶۱۸۲۲۳۹

سامانه‌های اپتیکی است که در محدوده طیف مرئی MWIR^۱ و LWIR^۲ کار می‌کند. تعداد مواد در دسترس برای این کاربردها محدود است [۴]. این ترکیب اگرچه برای کاربردهای اپتیکی بهترین نیست (به دلیل دارا بودن گاف غیرمستقیم) ولی در قدرت مکانیکی، مقاومت شیمیایی، رسانش گرمایی و سختی بر دیگر مواد هم‌خانواده‌اش برتری دارد [۴]. گالیم فسفید در دمای اتاق و در شرایط محیط در ساختار مکعبی مرکز سطحی بلندروی^۳ با گروه فضایی $F\bar{4}3m$ (۲۱۶) متبلور می‌شود [۵]. در فشار کمی بالاتر از ۲۰ GPa، فاز فشار پایین بلندروی گالیم فسفید دستخوش یک گذار به فاز فلزی II می‌شود که در ابتدا تصور می‌شد که ساختار β -Sn مانند دارد، اگرچه ویژگی الگوی پراش آن با این تصور مطابقت نداشت. مطالعات بیشتر توسط نلمز^۴ و همکاران در سال ۱۹۹۷ نشان داد که یک ساختار Cmc₂m با تمام ویژگی‌های الگوی پراش GaP-II سازگار است. تا فشار ۵۰ گیگاپاسکال تغییرات بیشتری مشاهده نشد. محاسبات اصول اولیه توسط موجیکا و همکاران وجود یک میدان پایداری برای فاز Sc16 و نزدیک پایداری برای فاز سینابار^۵ (هگزگونال) را نشان داد [۶]. فاز سینابار با کاهش فشار از فاز فشار بالای Cmc₂m (GaP-II) به دست آمد، وقتی فشار بیشتر کاهش پیدا کند به ساختار بلندروی (GaP-I) تبدیل می‌شود. چون گذار مستقیم از ساختار بلندروی به ساختار سینابار دیده نشده است، این فاز ممکن است شبه پایدار باشد [۷]. در ابتدا تصور می‌شد که فاز سینابار فقط مختص ترکیبات II-VI است. در سال ۱۹۹۷ نلمز و همکاران برای اولین بار این فاز را در ترکیب GaAs مشاهده کردند و این اولین دانش ما از فاز سینابار خارج از ترکیبات II-VI است. در سال ۱۹۹۷ موجیکا و همکاران اولین مطالعه نظری ساختار سینابار در ترکیبات III-V را انجام دادند. ساختار سینابار (با گروه فضایی P3₁21) با دو ثابت شبکه *a* و *c* و دو پارامتر داخلی بدون بعد *u*₁ و *u*₂ توصیف می‌شود و به ازای *u*₁=*u*₂=0.5 تقارن به گروه فضایی P6₃22 افزایش می‌یابد [۷]. در کار حاضر ساختار سینابار با گروه فضایی P6₃22 بررسی شده است. گالیم فسفید یک ترکیب دوتایی از عنصرهای گالیم (گروه III) و فسفر (گروه V) است. این ترکیب در شرایط معمولی در ساختار مکعبی بلندروی متبلور می‌شود و با اعمال فشار به فازهای سینابار و Cmc₂m گذار می‌کند. GaP به دلیل داشتن گاف نواری پهن و پایداری گرمایی و در نتیجه کاربردش در الکترونیک و الکترواپتیک دارای اهمیت فراوان است. به دلیل اهمیت کاربردی این ترکیب در این تحقیق بر آنیم تا به مطالعه خواص آن بپردازیم. ساختار بلوری ترکیب GaP در دو فاز بلندروی و سینابار با استفاده از نرم‌افزار xcrystden رسم و در شکل (۱) نشان داده شده است.

بنابراطلاعات موجود تاکنون ویژگی‌های فونونی و گرمایی ترکیب گالیم فسفید با استفاده از روش شبه پتانسیل مورد بررسی قرار نگرفته است و هم‌چنین در فاز سینابار هیچ کار نظری و تجربی گزارش نشده است. لذا در این کار قصد بررسی ویژگی‌های فونونی و گرمایی ترکیب گالیم فسفید در فاز بلندروی و فاز فشار بالای سینابار را با استفاده از روش شبه پتانسیل داریم.

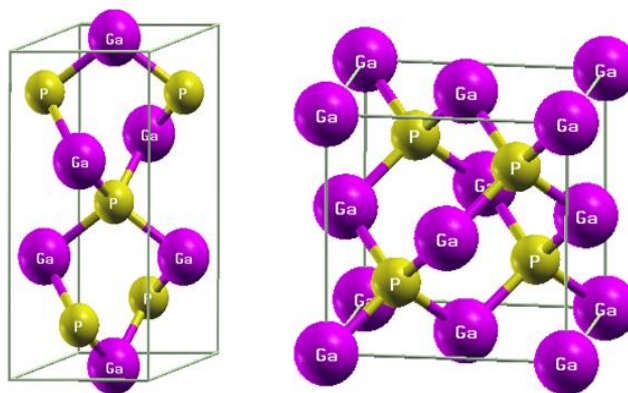
¹Mid-Wavelength Infrared

²Long-Wavelength Infrared

³zinblend

⁴Nelmes

⁵Cinnabar



شکل ۱. ساختار بلوری ترکیب گالیم فسفید در فازهای (الف) بلندروی و (ب) سینابار

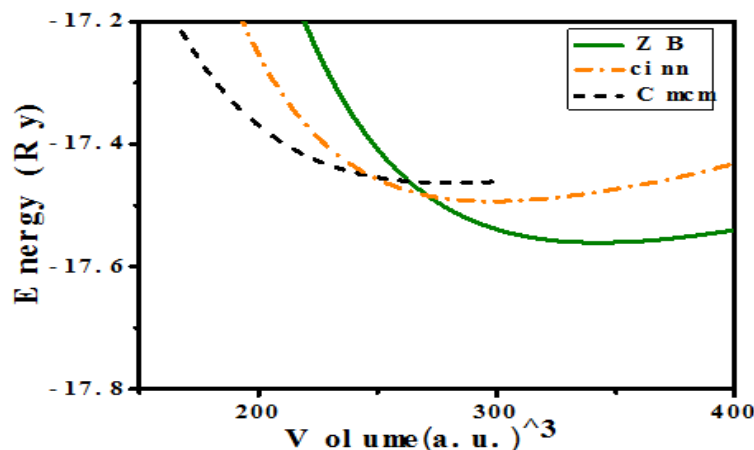
۲. روش‌های محاسباتی

محاسبات در چارچوب نظریه تابعی چگالی و با استفاده از بسته محاسباتی Quantum-Espresso انجام شده است. در این بسته محاسباتی معادلات تک‌ذره‌ای کوهن-شم با استفاده از روش شبه‌پتانسیل و بسط توابع موج الکترون‌های ظرفیت بر حسب امواج تخت حل می‌گردد. شبه‌پتانسیل‌های مورد استفاده به روش بارپایسته ساخته شده و تابعی تبادل-همبستگی آن‌ها از نوع GGA است. در شبه‌پتانسیل‌های به کار گرفته شده، حالت‌های $4s$ و $4p$ اتم گالیم و حالت‌های $3s$ و $3p$ اتم فسفر به عنوان حالت‌های ظرفیت در نظر گرفته شده‌اند. در محاسبات خودسازگار دقت محاسبات را 10^{-6} Ry در نظر گرفته‌ایم. با این دقت در فاز بلندروی با ۴ چرخه و در فاز سینابار با ۶ چرخه به همگرایی رسیده‌ایم.

۳. نتایج و بحث

۳-۱. فشار گذار

در شکل (۲) انرژی کل فازهای بلندروی، سینابار و $Cmcm$ به صورت تابعی از حجم رسم شده است. این خطوط بر معادله حالت مورناگون فیت شده‌اند. با محاسبه شیب مشترک بین منحنی‌های انرژی-حجم مربوط به فازهای مختلف می‌توان فشار گذار فازی را به دست آورد. از منحنی‌های انرژی-حجم (شکل (۲)) ترکیب گالیم فسفید در سه فاز درمی‌یابیم که فشار گذار از فاز بلندروی به فاز $Cmcm$ $20/9 \text{ GPa}$ و از فاز بلندروی به سینابار 24 GPa است. از آنجا که فشار گذار از بلندروی به $Cmcm$ کم‌تر است در ابتدا این فاز ($Cmcm$) با افزایش فشار ترکیب در ساختار بلندروی شکل می‌گیرد. منحنی انرژی بر حسب حجم نشان می‌دهد که ساختار بهینه در فاز $Cmcm$ حجم کم‌تری نسبت به فاز سینابار دارد. این بدان معنی است که برای گذار از فاز $Cmcm$ به سینابار باید حجم سامانه را افزایش دهیم، این افزایش حجم معادل کاهش فشار (1 V GPa) است. برای گذار مستقیم از فاز بلندروی به سینابار نیاز به افزایش بیشتر فشار در سامانه است و این بیان‌گر این است که در ابتدا فاز میانی $Cmcm$ شکل می‌گیرد و گذار مستقیم از بلندروی به سینابار وجود ندارد و این فاز شبه‌پایدار است.

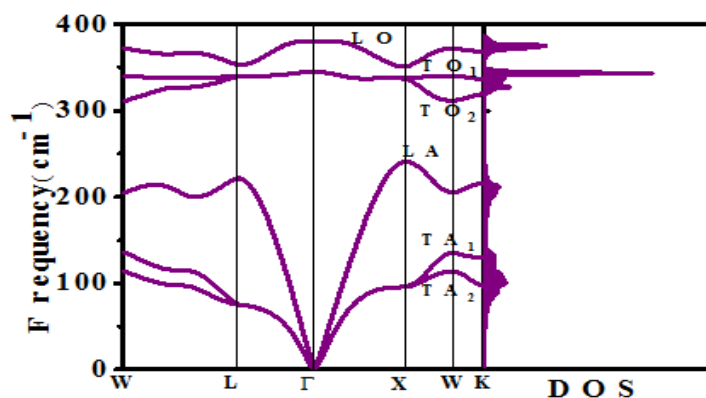


شکل ۲. منحنی‌های انرژی-حجم ترکیب کالیم فسفید به ازای فازهای مختلف بلندروی، سینابار و CmcM در تقریب GGA.

۲-۳. خواص فونونی

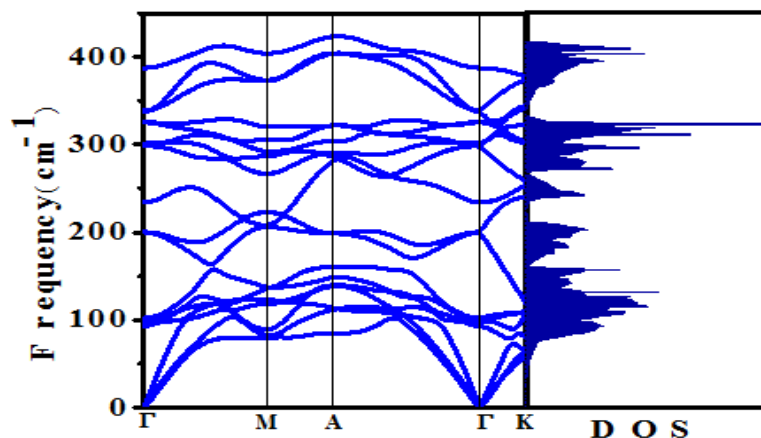
در شکل (۳) نمودار پاشندگی در فاز بلندروی در راستای بیشترین تقارن رسم شده است (این نمودار با نتایج موجود همخوانی دارد [۸]). همچنین به منظور بررسی بیشتر نمودار چگالی حالت‌های فونونی نیز در کنار نمودار پاشندگی آورده شده است. تعداد شاخه‌ها در منحنی پاشندگی بستگی به تعداد اتم‌های پایه دارد. بنابراین به دلیل این که در یاخته بسیط ساختار بلندروی دو اتم وجود دارد، نمودار پاشندگی فونونی این ساختار شامل ۶ شاخه است، که این شاخه‌ها به ۳ شاخه صوتی (سه شاخه در پایین‌ترین انرژی) و سه شاخه اپتیکی تقسیم می‌شوند. در یک جامد فونون‌های صوتی عرضی با طول موج بلند (مختصراً TA) امواج صوتی برشی هستند در حالی که فونون‌های صوتی طولی (LA) مربوط به موج‌های صوتی تراکمی‌اند. به دلیل این که معمولاً برش دادن یک بلور راحت‌تر از فشردن آن است، فونون‌های TA با سرعت پایین‌تری نسبت به فونون‌های LA حرکت می‌کنند. دو ویژگی خاص فونون‌های TA در نیم‌رساناهای بلندروی و الماسی عبارتند از: (۱) منحنی‌های پاشندگی آن‌ها نزدیک لبه منطقه نسبتاً مسطح است. (۲) در مرز منطقه انرژی آن‌ها بسیار کم‌تر از انرژی فونون‌های LA است. هم‌چنین از شکل چنین برمی‌آید که در مرکز منطقه فونون LO انرژی بیشتری نسبت به فونون TO دارد. دقیقاً در مرکز منطقه، هر سه شاخه فونون‌های اپتیکی تبهگن شده‌اند که این امر را می‌توان به تقارن مکعبی ساختار بلندروی نسبت داد. دلیل آن در طبیعت جزئی یونی پیوند در بلورهای بلندروی است. مثلاً در GaP-ام‌های P نسبت به اتم‌های Ga در پیوند الکترون‌های بیش‌تری به اشتراک می‌گذارند. در نتیجه الکترون‌ها در پیوند کووالانسی به‌طور میانگین زمان بیشتری را نزدیک اتم‌های P می‌گذارند. بنابراین اتم‌های P به مقدار کمی بار منفی و اتم‌های Ga به مقدار کمی بار مثبت می‌گیرند. از شکل چنین برمی‌آید که در حد $\vec{k} \rightarrow 0$ یعنی در حد طول موج‌های بلند هر سه شاخه صوتی صفر می‌شوند و با افزایش بردار موج، ابتدا منحنی پاشندگی افزایش و سپس کاهش می‌یابد. با مقایسه در شکل (۳) محدوده بسامد بین بالاترین مد صوتی و پایین‌ترین مد اپتیکی منطقه ممنوعه است که برای آن‌ها جواب‌های موج‌گونه برای \vec{k} ‌های حقیقی وجود ندارد. این محدوده

بسامدی را گاف ممنوعه بسامدی می‌نامند. این منطقه ممنوعه بین بسامد 242 cm^{-1} تا 311 cm^{-1} قرار گرفته است. هیچ مد فونونی اپتیکی و صوتی با چنین بسامد در این محدوده نمی‌تواند انتشار یابد. هم چنین در شکل نمودار چگالی حالت‌های فونونی نیز حضور منطقه ممنوعه را به خوبی نشان می‌دهد.



شکل ۳. نمودار پاشندگی (سمت چپ) و چگالی حالت‌های فونونی (سمت راست) فاز بلندروی ترکیب گالیم فسفید.

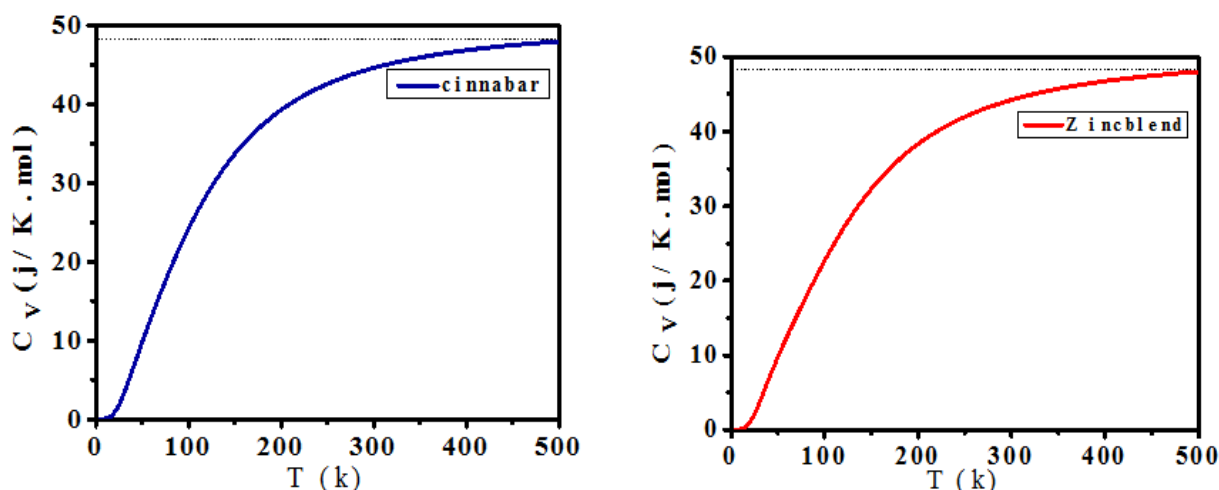
در شکل (۴) نمودار پاشندگی در راستای بیشترین تقارن به همراه نمودار چگالی حالت‌های فونونی ترکیب GaP در فاز سینابار رسم شده است. این ساختار دارای ۶ اتم در سلول واحد است. بنابراین در این فاز نمودار پاشندگی فونونی دارای ۱۸ شاخه است که ۳ تای آنها که در نقطه Γ برای بسامد صفر هستند صوتی اند. از این شاخه‌های صوتی شاخه‌ای که بالاترین بسامد را نسبت به دو شاخه دیگر دارد شاخه طولی و دو شاخه دیگر عرضی اند. ۱۵ شاخه باقی مانده شاخه‌های اپتیکی هستند. که از این ۱۵ شاخه ۵ شاخه که در محدوده بسامدی 320 cm^{-1} تا 400 cm^{-1} قرار دارند اپتیکی طولی و ۱۰ شاخه باقی مانده اپتیکی عرضی هستند. همان طور که انتظار می‌رود بسامد مدهای صوتی در نقطه گاما به صفر می‌رسد. در این شکل هیچ گاف بسامدی مشاهده نمی‌شود. تاکنون هیچ کار نظری و تجربی بر روی خواص فونونی ترکیب GaP در فاز سینابار گزارش نشده است.



شکل ۴. نمودار پاشندگی (سمت چپ) و چگالی حالت‌های فونونی (سمت راست) فاز سینابار ترکیب گالیم فسفید.

۳-۳. خواص گرمایی

ارتعاشات شبکه به طور کامل مسئول خواص گرمایی (ظرفیت گرمایی، رسانایی گرمایی، انتقال گرما و غیره) هستند، که در این جا ظرفیت گرمایی مورد بررسی قرار می گیرد. در شکل (۵) نمودار گرمای ویژه بر حسب دما برای دو فاز بلندروی و سینابار رسم شده است. همان طور که انتظار می رود در دماهای پایین، ظرفیت گرمایی به طور قابل ملاحظه ای افت می کند و این افت به صورت T^3 است. در دماهای بالا نیز طبق قانون دولن - پتی C_v به یک مقدار اشباع می رسد که در آن جا مستقل از دما است که از شکل می بینیم که مقدار مجانبی ظرفیت گرمایی در فاز بلندروی $47,988 \text{ J/mol.K}$ و در فاز سینابار $47,963 \text{ J/mol.K}$ نزدیک می شود (قانون دولن - پتی). این مقدار با نتایج تجربی در دماهای بالا سازگاری دارد. با توجه به شکل (۵) گرمای ویژه فاز بلندروی در دمای اتاق $44,228 \text{ J/mol.K}$ و گرمای ویژه فاز سینابار در دمای اتاق $44,609 \text{ J/mol.K}$ است.



شکل ۵. نمودار گرمای ویژه بر حسب دما برای ترکیب گالیم فسفید در دو فاز (الف) بلندروی (ب) سینابار.

۴. نتیجه گیری

نتایج حاصل از بررسی خواص فونونی ترکیب گالیم فسفید در فاز بلندروی نشان می دهد که در نمودار پاشندگی فونونی کافی به اندازه 69 cm^{-1} می باشد که این امر بیان می کند که هیچ مد فونونی صوتی و اپتیکی با چنین بسامدی در این محدوده نمی تواند انتشار یابد. از مطالعه خواص ترمودینامیکی به این نتیجه رسیدیم که افت ظرفیت گرمایی در دماهای پایین، به صورت T^3 است. در دماهای بالا نیز ظرفیت گرمایی به $3Nk_B$ (قانون دولن - پتی) نزدیک می شود.

۵. مراجع

- [1] Soni, H. R., Mankad, V., Gupta, S. D., Gupta, S. K., & Jha, P. K. (2012). An ab initio study of ground state, electronic and thermodynamical properties of GaP and Ga₂P. *Journal of thermal analysis and calorimetry*, 107(1), 39-44.
- [2] Jiao, Z. Y., Ma, S. H., & Guo, Y. L. (2011). Simulation of optical function for phosphide crystals following the DFT band structure calculations. *Computational and theoretical chemistry*, 970(1-3), 79-84.
- [3] Arbouche, O., Belgoumène, B., Soudini, B., Azzaz, Y., Bendaoud, H., & Amara, K. (2010). First-principles study on structural properties and phase stability of III-phosphide (BP, GaP, AlP and InP). *Computational materials science*, 47(3), 685-692.
- [4] Bahuguna, B. P., Saini, L. K., Sharma, R. O., & Tiwari, B. (2018). Strain and electric field induced metallization in the GaX (X= N, P, As & Sb) monolayer. *Physica E: Low-dimensional Systems and Nanostructures*, 99, 236-243.
- [5] Liu, L., Wei, J. J., An, X. Y., Wang, X. M., Liu, H. N., & Wu, W. D. (2011). Investigations of phase transition, elastic and thermodynamic properties of GaP by using the density functional theory. *Chinese Physics B*, 20(10), 106201.
- [6] Bouarissa, N., Algarni, H., Al-Hagan, O. A., Khan, M. A., & Alhuwaymel, T. F. (2018). Optical properties and exciton binding energy and related parameters of CdTe: pressure-induced effects. *Optik*, 170, 37-42.
- [7] Ribeiro-Silva, C. I., Picinin, A., Rino, J. P., Menezes, M. G., & Capaz, R. B. (2019). Temperature effects on the structural phase transitions of gallium phosphide. *Computational Materials Science*, 161, 265-275.
- [8] Borchers, P. H., Hall, R. L., Kunc, K., & Alfrey, G. F. (1979). The lattice dynamics of gallium phosphide. *Journal of Physics C: Solid State Physics*, 12(22), 4699.

Investigation of Phononic and thermal properties of Gallium Phosphide in two Zincblend and hexagonal phases

Hamdollah Salehi*¹, S. Mokhavat, P. Amiri

Department of Physics, Faculty of Science, Shahid Chamran University of Ahvaz, Ahvaz, Iran

Submitted: 05 June 2022, Revised: 07 August 2022, Accepted: 24 August 2022

Abstract

In this paper, the phononic, thermal properties and pressure transition of GaP in two stable phases, Zincblend and Cinnabar phase, have been investigated. Calculations were performed by using the pseudopotential method in the framework of the density functional theory and using the Quantum Espresso code. The pseudopotentials applied here are generated using norm-conserving condition within GGA is used to calculate the exchange-correlation potential. The Energy–Volume diagram at the pressure transition shows that the cinnabar phase is metastable. The phonon scattering diagram shows that this compound has a gap between 242 cm^{-1} up 311 cm^{-1} in the Zincblend and there is no gap in the cinnabar phase. From the study of the thermodynamic properties of the two phases of Zincblend and Cinnabar, we find that in both phases, the drop in heat capacity at low temperatures is T^3 . At high temperatures, the heat capacity become close to $3NK_B$ (Dulong–Petit law).

Keywords: Gallium Phosphide, density functional theory, phonon modes, Thermal properties.

*Corresponding author : Hamdollah Salehi

Address: Department of Physics, Faculty of Science, Shahid Chamran University, of Ahvaz, Ahvaz, Iran

Tel: 09166182239

E-mail: salehi_h@scu.ac.ir